



## Investigating the Spatial Distribution and Trend of Dust Mass Density in West Asia and Its Relationship with Climate Variables

**Sh. Katorani<sup>1</sup>, M. Ahmadi<sup>2\*</sup>, A. Dadashi-Roudbari<sup>3</sup>**

1 and 2- Ph.D. Student and Associate Professor of Climatology, Faculty of Earth Sciences, Shahid Beheshti University, Tehran, Iran, respectively.

(\*- Corresponding Author Email: [Ma\\_ahmadi@sbu.ac.ir](mailto:Ma_ahmadi@sbu.ac.ir))

3- Postdoctoral Research Associate of Climatology, Department of Geography, Ferdowsi University of Mashhad, Mashhad, Iran

Received: 08-01-2024

Revised: 24-05-2024

Accepted: 28-05-2024

Available Online: 28-05-2024

**How to cite this article:**

Katorani, Sh., Ahmadi, M., & Dadashi-Roudbari, A. (2024). Investigating the spatial distribution and trend of dust mass density in West Asia and its relationship with climate variables. *Journal of Water and Soil*, 38(3), 411-427. (In Persian with English abstract). <https://doi.org/10.22067/jsw.2024.86233.1367>

### Introduction

Dust emission is considered as one of the environmental hazards in arid and semi-arid regions. Understanding the effective variables in increasing dust mass density is very important for early warning and reducing its imposing damages. One of the main and effective variables in the occurrence of dust is the geographical and climate characteristics of the origin areas and areas affected by this phenomenon. Feeding the great rivers of Mesopotamia, it has reduced soil moisture. Also, the wind component is one of the reasons for the increase in dust in these areas. This study examines the relative importance of climatic variables to investigate seasonal and monthly changes in dust emission in West Asia and parts of South and Central Asia.

### Materials and Methods

This study has examined West Asian dust from three perspectives spatial distribution, trends, and their relationship with climate variables. For this purpose, the Dust Column Mass Density (DUCMASS) variable output of the MERRA-2 dataset was used to investigate the spatial distribution of the dust mass density trend, and the AgERA5 dataset was used to investigate the seasonal and monthly changes of precipitation, wind speed, and temperature variables from 1981 to 2020. In this study, the modified Mann-Kendall (MMK) trend test method was used to investigate the trend of dust occurrence in the study area, and the Sen's slope estimator (SSE) test was used to investigate the slope of the trend and to better display the changes in dust mass density in the western region. the results of the SSE test have been examined on a decade scale.

### Results and Discussion

Investigating the possible climate drivers in the changes of dust mass density for different regions by calculating the correlation between the time series of dust mass density and the variables of temperature, precipitation, and wind speed has been investigated. The results showed that there is an inverse correlation between dust mass density and precipitation and a direct relationship between dust mass density and temperature and wind speed. The highest correlations between dust mass density and temperature have been calculated, and this value has reached 0.9 in the warm months of the year. On the other hand, the highest negative correlations have been calculated in the cold period of the year (winter and autumn seasons) between dust concentration and precipitation with a value of -0.7. The correlation coefficient between dust mass density and wind speed in the months of January to May and November to December was mostly above 0.6. This value shows a lower correlation in the summer season.

In most months of the year, dust mass density shows an increasing trend in most regions, from March to July, an



©2024 The author(s). This is an open access article distributed under [Creative Commons Attribution 4.0 International License \(CC BY 4.0\)](#).

<https://doi.org/10.22067/jsw.2024.86233.1367>

increasing trend in active dust springs in Mesopotamia, the deserts of Iraq and Syria, the desert of Rub' Al Khali, Ad-Dahna and Al Nufud Al Kabir were observed in Arabia and Thar desert in Pakistan. This increasing trend started cyclically from the beginning of spring and reaches its peak in June and July, and the intensity of the trend decreases from September and reaches its minimum value in December. The important point is that the cycle of changes in the monthly trend of dust mass density coincides with the cycle of changes in dust mass density. The northern parts of Iran and Turkey have the highest frequency among different months of the year with a decreasing trend of dust mass density. The increasing trend of dust mass density in the spring and summer seasons in Mesopotamia, the deserts of Iraq, Syria, and Yemen, the Sistan Plain, and the Thar desert in Pakistan and the southeast of Iran was significant at the level of 0.05.

## Conclusion

The results revealed that the seasonal changes in dust mass density show well the active sources of dust in the studied area. In the spring and summer seasons, the activity of the dust centers located in the west of the study area, including the Rub' al Khali, Ad-Dahna and Al Nufud Al Kabir deserts, Mesopotamia, the deserts of Iraq and Syria, increases and on the arrival of dust to the west and southwest Iran affects. The investigation showed that climate variables play a key role in the variability of dust mass density in the study area so the areas corresponding to the summer north wind and the 120-day wind of Sistan have shown the highest dust mass density in annual variability. The correlation coefficient between dust mass density with temperature and direct wind speed and its correlation with negative precipitation have been obtained. The results showed that dust mass density has an increasing trend in most of the regions, so from March to August (spring and summer), the increasing trend of dust mass density is significant at the level of 0.05. The highest intensity of the increasing trend was observed in the spring and summer seasons in Mesopotamia, the deserts of Iraq, Syria, and Yemen, the Sistan Plain, and the Thar desert in Pakistan and southeast Iran.

**Keywords:** Dust mass density, Dust trend, MERRA-2 dataset, West Asia



مقالات پژوهشی

۴۲۷-۴۱۱، شماره ۳، مرداد-شهریور ۱۴۰۳، ص.

# بررسی پراکنش فضایی و روند غلظت گرد و خاک در غرب آسیا و ارتباط آن با متغیرهای اقلیمی

شلیل کاتورانی<sup>۱</sup>- محمود احمدی<sup>۲\*</sup>- عباسعلی<sup>۳</sup>- داداشی، رودباری<sup>۴</sup>

۱۴۰۲/۱۰/۱۸، سخ د، سافت:

تاریخ یزدیرش: ۱۴۰۳/۰۳/۰۸

حکیمہ

گردوخاک یکی از شاخص‌های مهم تعییر اقلیم است. با این حال، پیوند بین گرد و خاک و اقلیم به دلیل بازخودهای مستقیم و غیرمستقیم در سامانه زمین بسیار پیچیده است. این مطالعه پراکنش فضایی و روند گردوخاک‌های غرب آسیا و ارتباط آن‌ها را با متغیرهای اقلیمی دما، بارش و تندی باد مورد بررسی قرار داده است. بدین منظور برای برسی پراکنش فضایی روند غلظت گردوخاک از برondاده متغیر غلظت گردوخاک MERRA-2 و MERRA برای بررسی متغیرهای اقلیمی، مجموعه داده AgERA5 استفاده شد. تعییرات فصلی غلظت گرد و خاک به خوبی چشممه‌های فعال گرد و خاک در منطقه مورد مطالعه را مشخص کرد. بررسی کارایی متغیرهای اقلیمی دما، بارش و تندی باد نشان داده است مجموعه داده AgERA5 دما را با کارایی بالاتری نسبت به بارش و تندی باد در ایستگاه‌های نماینده پهنه‌های اقلیمی در غرب آسیا برآورد می‌کند. ازین سه متغیر مورد بررسی، تندی باد کارایی به نسبت کمتری را نسبت به دما و بارش نشان داده است. به طور کلی مجموعه داده AgERA5 دارای کارایی قابل قبولی در برآورد متغیرهای اقلیمی است و در مناطق فاقد داده از این مجموعه داده می‌توان به عنوان یک داده جایگزین استفاده کرد. نتایج نشان داد که متغیرهای اقلیمی نقش کلیدی را در تعییرپذیری غلظت گردوخاک در منطقه مورد مطالعه دارند، بطوریکه مناطق منطبق بر باد شمال تابستانه و باد ۱۲۰ روزه سیستان بالاترین غلظت گردوخاک سالانه را دارند. بالاترین ضریب همبستگی بین غلظت گردوخاک با دما در ماههای گرم سال به بیش از ۰/۸ و با تندی باد در ماههای ژانویه تا می و نوامبر تا دسامبر بیشتر از ۰/۶ و همبستگی آن با بارش در ماههای سرد سال ۰/۷-۰/۷-۰ محاسبه شده است. غلظت گردوخاک روند افزایشی را در مناطق بیابانی ریع‌الخالی، النفوذ‌الدهن، بین‌النهرین، بیابان‌های عراق و سوریه داشته به طوری که از ماههای مارس تا اوپت (بهار و تابستان) روند افزایشی غلظت گردوخاک در سطح ۰/۵ معنی دارد. بالاترین شدت روند افزایشی در فصول بهار و تابستان در مناطق بین‌النهرین، بیابان‌های عراق، سوریه و یمن، دشت سیستان و بیابان تار در یاکستان و جنوب شرقی ایران، مشاهده شد.

**MERRA-2**: روند گردخاک، غلظت گردخاک، غرب آسیا، مجموعه داده

١٦٣

(Soltani *et al.*, 2021). هر سال حدود ۲۰۰۰ تن گردخاک وارد جو می‌شود که ۷۵ درصد آن در خشکی و ۲۵ درصد آن در اقیانوس‌ها نهشست می‌کند (Shao *et al.*, 2011). اگر چه گرد و خاک پدیده اقلیمی رایج در مناطق خشک و بیابانی است اما شواهد نشان می‌دهد که این پدیده در تمامی مناطق اقلیمی اتفاق می‌افتد (Fallah Zazuli *et al.*, 2014). این پدیده به یکی از چالش‌های مهم زیست محیطی در سال

یکی از مخاطرات طبیعی و رایج در سال‌های اخیر که به‌طور ویژه محیط‌های شهری و انسانی را آسیب‌پذیر کرده است، پدیده گردودخاک می‌باشد که کنترل و مدیریت آن بسیار دشوار و هزینه‌بردار خواهد بود.

یکی از عوامل اصلی و مؤثر در رخداد این پدیده، موقعیت جغرافیایی و ویژگی‌های اقلیمی، مناطق مبدأ و مناطق متاثر از این پدیده است

۱- بهترین دانشجوی دکتری و دانشیار اقلیم‌شناسی، دانشکده علوم زمین، دانشگاه شهید بهشتی، تهران، ایران  
(Email: Ma\_ahmadi@sbu.ac.ir) نویسنده مسئول :

<sup>3</sup>- پژوهشگر پسادکتری اقلیم‌شناسی، گروه چیراگی، دانشگاه فردوسی، مشهد، مشهد، ایران

Sujitha *et al.*, 2022; Sun *et al.*, 2020)، محصولات سنجش از دور (*Sarkar et al., 2019; Middleton et al., 2021; Caido et al., 2022*) و داده‌های ایستگاهی (*Middleton et al., 2021; Jin et al., 2021*) اشاره کرد. این مطالعات کارایی محصولات سنجش از دور و بازتحلیل را در برابر داده‌های مشاهداتی برای مطالعه گردودخاک مورد تأیید قرار داد و نشان دادند که کاربست داده‌های نامبرده می‌تواند در شناخت بهتر این پدیده در سطح جهانی کمک کند.

آسیا و بخصوص غرب آسیا بهدلیل وجود بیابان‌های بزرگ، پس از آفریقا دومین منبع بزرگ گردودخاک در جهان است (*Jin et al., 2021*) با توجه به اینکه عوامل زیادی بر الگوهای زمانی-مکانی گرد و خاک تأثیر می‌گذارند، اهمیت نسبی این عوامل برای انتشار گردودخاک در سراسر خاورمیانه تا آسیای جنوبی به خوبی مستند نشده است. لذا این مطالعه اهمیت نسبی این عوامل را برای بررسی تغییرات فصلی و ماهانه انتشار گردودخاک در غرب آسیا و بخش‌هایی از آسیای جنوبی و مرکزی مورد بررسی قرار می‌دهد. نتایج این تحقیق دستاوردهای زیادی را زمینه مطالعات گردودخاک در غرب آسیا خواهد داشت. همچنین این مطالعه با بررسی متغیرهای اقلیمی و ارتباط آن با غلاظت گردودخاک می‌تواند سهم نسبی متغیرهای اقلیمی را در رخداد و انتشار این پدیده نشان دهد.

## داده‌ها و روش تحقیق

### منطقه مورد مطالعه

منطقه مورد مطالعه در این پژوهش کشورهای واقع در غرب آسیا و همچنین پاکستان و افغانستان از آسیای جنوبی و ترکمنستان از آسیای مرکزی است (شکل ۱). با انتخاب این مناطق بهتر می‌توان به بررسی چشممه‌های گردودخاک مؤثر بر ایران بحث کرد. این منطقه دارای بیابان‌های وسیعی شامل بیابان تار، دشت مارگو، دشت لوت، دشت کویر، بیابان قره قوم، دشت سیستان، بیابان قزل قوم، ربع الخالی، بیابان سوریه و النفوذ است. منطقه مورد مطالعه از نظر توپوگرافی بسیار پیچیده است این امر باعث شده شده تا از نظر پهنه‌های اقلیمی نیز غرب آسیا دارای تنوع زیادی باشد. با این حال در بخش‌های وسیعی از غرب آسیا اقلیم بیابانی گرم (Bwh) حکم فرماست (شرح کامل هر یک از پهنه‌های اقلیمی در جدول ۱ ارائه شده است). افزایش چشمگیر رخداد گردودخاک در سال‌های اخیر در این منطقه بهدلیل اقلیم خشک و نیمه‌خشک، وجود بیابان‌های وسیع، سدسازی‌های گسترده در بالادست و خشک شدن مسیر رودها در پایین دست و تغییرات گسترده کاربری اراضی است.

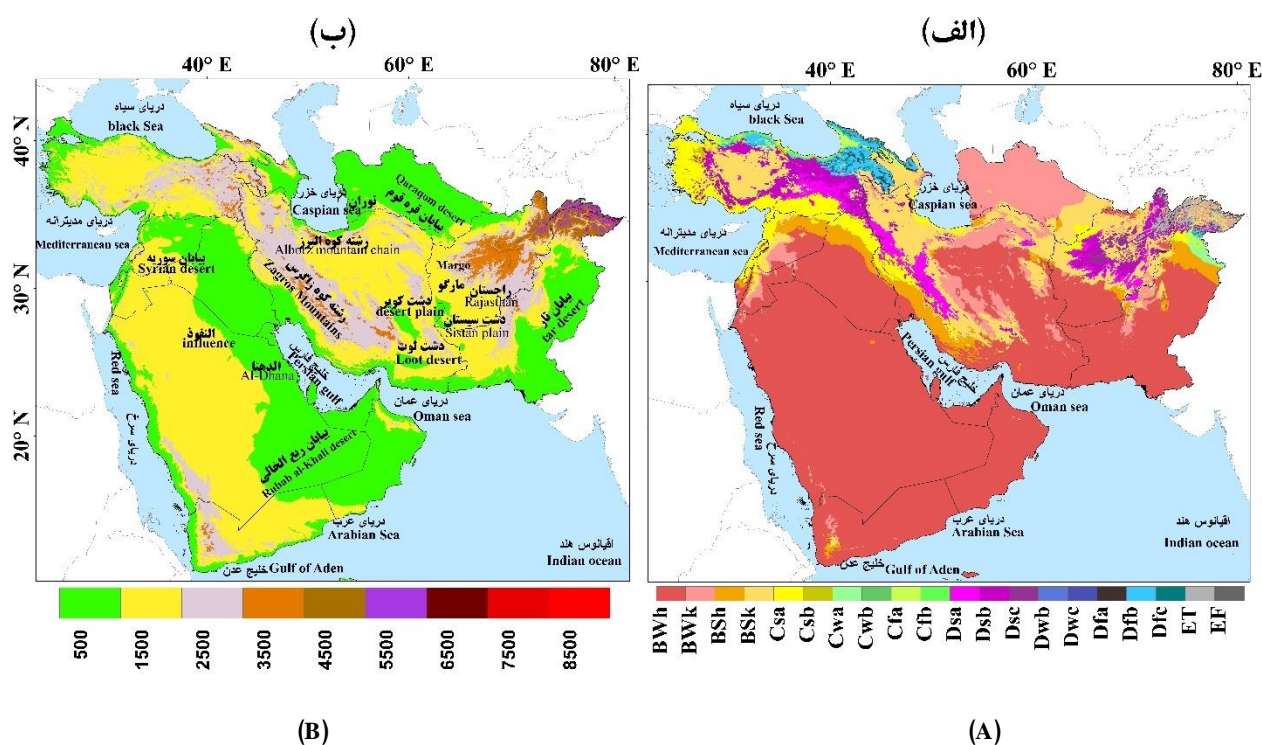
های اخیر در منطقه خاورمیانه و بهویژه ایران تبدیل شده است (*Jafari et al., 2021*).

گردودخاک موجود در جو، می‌تواند دی‌اکسید کربن جوی Mukherjee *et al.*, (Rushingabigwi *et al.*, 2020) (Alam *et al.*, 2010)، بهداشت و سلامت Alonso *et al.*, (Goudie & Middleton, 2006) (Li *et al.*, 2016) را تحت تاثیر قرار دهد و با تغییر مشخصات خرد فیزیک ابرها بر مقدار بارش اثرگذار باشد.

متغیرهای اقلیمی نقش بسزایی در مطالعات گردودخاک دارند به طوری که کاهش بارش در دهه‌های گذشته بهویژه در خاورمیانه که منطقه‌ی تقدیم رودهای بزرگ بین‌المللی می‌باشد، رطوبت خاک را کاهش داده است. همچنین افزایش فراوانی عبور امواج کوتاه و سریع با مؤلفه‌ی باد مداری قوی از دلایل افزایش گردودخاک در این مناطق شده است. پدیده گردودخاک با تندی باد و فرسایش پذیری (یعنی شرایط سطح زمین) ارتباط مستقیم دارد (Wu *et al.*, 2020). همچنین توپوگرافی متنوع و توزیع دما و بارش به شکل‌گیری شرایط برای ایجاد گردودخاک با متغیرهای اقلیمی می‌تواند نقش مهمی را در شناسایی این پدیده بخصوص در مناطق مستعد رخداد گردودخاک داشته باشد. مسئله اصلی این تحقیق بررسی غلط انتقال گردودخاک و روند تغییرات آن طی چهار دهه گذشته است. همچنین نقش متغیرهای اقلیمی به عنوان یکی از محرك‌های کلیدی گردودخاک در این تحقیق مورد بررسی قرار گرفته است.

تحقیقات زیادی به بررسی نقش متغیرهای اقلیمی در رخداد گردودخاک پرداخته‌اند که این مطالعات در سطح جهانی بر اساس منطقه مورد مطالعه و نوع داده‌های مورد استفاده بسیار متنوع می‌باشند. در یک طبقه‌بندی اولیه مطالعات انجام شده را می‌توان به مطالعاتی که به بررسی ارتباط متغیرهای اقلیمی شامل بارش، دما و تندی باد در ایجاد و نقش آن‌ها در افزایش گردودخاک پرداخته‌اند تقسیم کردند. از این دست مطالعات می‌توان به پژوهش‌های انجام شده در چین (*Chen et al., 2021; Wu et al., 2020; Middleton, 2019*)، ایران (*Dadashi-Roudbari & Ahmadi 2021; Boroghani et al., 2019*)، هند (*Jin et al., 2021; Shi et al., 2021*) و پاکستان (*Jin et al., 2021; Dar, 2022; Tariq et al., 2021*) اشاره کرد. بیشتر این مطالعات روند افزایشی را برای گردودخاک گزارش کرده‌اند، همچنین نتایج این مطالعات نشان داده است که کاهش بارش، افزایش تندی باد، افزایش دما، افزایش تبخیر-تعرق با افزایش گردودخاک رابطه معنی‌داری داشته است.

در گروه دیگر از مطالعات انجام شده که بر مبنای داده می‌توان آن‌ها را تقسیم بندی کرد می‌توان به پژوهش‌های انجام شده با استفاده Middleton *et al.*, (Hersbach *et al.*, 2021) از از داده‌های بازتحلیل (



شکل ۱- موقعیت منطقه مورد مطالعه؛ االف) پهنه‌های اقلیمی کوپن-گایگر و ب) مدل رقومی ارتفاعی (DEM)

مجموعه داده باز تحلیل AgERA5

مجموعه داده‌های بازتحلیل ECMWF یکی از مهمترین داده‌های در دسترس در سطح جهانی می‌باشد که مورد توجه بسیاری از محققین قرار دارد. مطابق تحقیقات انجام شده، مقدار خطای این مجموعه داده در مقایسه با داده‌های مشاهداتی در بسیاری از نقاط جهان بسیار پایین است (Bell *et al.*, 2021). کارایی این مجموعه داده برای متغیرهای مختلف اقلیمی همانند بارش (Asadi Rahim-Begi *et al.*, 2022) و (Heydari *et al.*, 2023) در ایران نیز مورد تأیید قرار گرفته است. دما (Heydari *et al.*, 2023) در ایران نیز مورد تأیید قرار گرفته است. نتایج تحقیقات پیشین نشان داده است که از این داده می‌توان به عنوان جایگزین در مناطق فاقد داده به عنوان داده مشاهداتی استفاده کرد. مجموعه داده ERA5 پنجمین محصول بازتحلیل جوی جهانی مرکز ECMWF است که به دنبال نسخه‌های قبلی شامل ERA15 و ERA40 Hersbach *et al.*, (2020) ERA-Interim و ERA40. این مجموعه داده برآوردهای ساعتی متغیرهای جوی را با تدقیک افقی ۳۱ کیلومتر ارائه می‌دهد. سامانه داده‌گواری ERA5 بر اساس داده‌های مختلف ماهواره‌ای، ایستگاهی، برونداد مدل، داده‌های جو بالا و بوبیه‌های دریایی است ترکیب این داده‌ها به همراه مدل سازی های پیشرفته باعث شده است تا عدم قطعیت این مجموعه داده بسیار پایین باشد (Jiao *et al.*, 2021).

دادهای مورد استفاده

منطقه غرب آسیا دارای بیابان‌های وسیع و همچنین رشته‌کوه‌های بزرگ و پیچیده‌ای است این دو مشخصه چهارگایی به همراه سال‌ها جنگ در کشورهای همانند عراق، سوریه و یمن باعث شده است تا این منطقه از جهان داده مشاهداتی مناسبی در اختیار نداشته باشد. وجود داده‌های اقلیمی بلند مدت و عدم قطعیت پایین نقش کلیدی را در پژوهش‌های علوم جوی دارد. در این تحقیق از دو گروه داده‌های AgERA5 و MERRA-2 برای بررسی غلظت گردودخاک و همچنین پررسی نقش متغیرهای اقلیمی، بر خداد گردودخاک استفاده شده است.

داده‌های مشاهداتی (ایستگاه‌های هواشناسی همدیدی ایران) داده‌های مشاهداتی کنترل کیفی شده در پژوهش‌های مرتبط با علوم جوی از اهمیت بالایی برخوردار هستند. در این تحقیق بدليل عدم دسترسی به داده‌های ایستگاهی کشورهای مورد بررسی در غرب آسیا برای درستی سنجی متغیرهای اقلیمی دما، بارش و تندی باد از هفت ایستگاه هواشناسی همدیدی ایران (یزد، مشهد، شیراز، تبریز، بافق، رشت و شهرکرد) به ترتیب عنوان نماینده اقلیمی پهنه‌های داده‌های این هفت ایستگاه در مقیاس سالانه برای سه متغیر دما، بارش و تندی، باد ط. دوه آماره، ۱۹۸۱ تا ۲۰۰۲ استفاده شده است.

جدول ۱- طبقه‌بندی اقلیمی کوپن-گایگر برای منطقه مورد مطالعه

Table 1- Köppen-Geiger climate classification for the study area

Köppen-Geiger classes	طبقه‌بندی کوپن گایگر	توضیحات طبقه‌بندی کوپن گایگر	Köppen-Geiger classes Description
BWh		اقلیم بیابانی گرم	Arid, desert, hot
BSk		اقلیم استپ یا نیمه‌خشک با بیابان‌های سرد	Arid, steppe, cold
BWk		اقلیم بیابانی سرد	Arid, desert, cold
Csa		اقلیم گرم معتمد با تابستان خشک و بسیار گرم	Temperate, dry summer, cold summer
BSh		اقلیم استپ یا نیمه‌خشک با بیابان‌های گرم	Arid, steppe, hot
Dsb		اقلیم برفی با تابستان‌های خشک و گرم	Cold, dry summer, warm summer
Dsa		اقلیم برفی با تابستان‌های خشک و بسیار گرم	Cold, dry summer, hot summer
Dfb		اقلیم برفی بسیار مرطوب با تابستان گرم	Cold, no dry season, warm summer
Dsc		اقلیم برفی با تابستان‌های تابستان‌های خشک و خنک و زمستان سرد	Cold, dry summer, cold summer
ET		اقلیم تندرا	Polar, tundra
Cfa		اقلیم گرم معتمد بسیار مرطوب با تابستان بسیار گرم	Cold, no dry season, hot summer
Dfc		اقلیم برفی بسیار مرطوب با تابستان خنک و زمستان سرد	Cold, no dry season, cold summer
Csb		اقلیم گرم معتمد با تابستان خشک و گرم	Temperate, dry summer, warm summer
Cfb		اقلیم گرم معتمد بسیار مرطوب با تابستان گرم	Temperate, no dry season, warm summer
Cwa		اقلیم گرم معتمد با زمستان خشک و تابستان بسیار گرم	Temperate, dry winter, hot summer
Dfa		اقلیم برفی بسیار مرطوب با تابستان بسیار گرم	Cold, no dry season, hot summer
EF		اقلیم یخ‌بندان	Polar, frost
Dwb		اقلیم برفی با زمستان‌های خشک و تابستان گرم	Cold, dry winter, warm summer
Dwc		اقلیم برفی با زمستان‌های خشک و سرد و تابستان خنک	Cold, dry winter, cold summer
Cwb		اقلیم گرم معتمد با زمستان خشک و تابستان گرم	Cold, dry winter, warm summer

که مجموعه داده‌های ERA5 نسبت به داده‌های اولیه AgERA5 تفکیک افقی بالاتری (حدوداً ۱۰ کیلومتر) برخوردار است (Yu et al., 2021). در این مجموعه داده تصحیحات مختلفی از جمله برهمنکش دریا-خشکی، تصحیحات توپوگرافی و کاربری اراضی انجام شده است

در این مطالعه از مجموعه داده AgERA5 برای بررسی تغییرات فصلی و ماهانه متغیرهای بارش، تندی باد و دما از سال ۱۹۸۱ تا ۲۰۲۰ استفاده شد. مزیت به کارگیری مجموعه داده‌های AgERA5 نسبت به داده‌های ERA5-LAND و نسخه معمولی ERA5 در این است

رونده در یک سری زمانی است که بزرگی روند را نشان می‌دهد. در این تحقیق برای نمایش بهتر تغییرات غلظت گردوخاک در منطقه غرب آسیا نتایج آزمون سنس در مقیاس دهه‌ای مورد بررسی قرار گرفته است که نتایج آن در [\(شکل ۴\)](#) به همراه سطح معنی‌داری در سطح ۰/۰۵ ارائه شده است.

#### درستی‌سنجدی متغیرهای اقلیمی در ایستگاه‌های نماینده پهنه‌های اقلیمی

درستی‌سنجدی متغیرهای اقلیمی برای درک وضعیت اقلیم گذشته و همچنین آینده بسیار مهم است. در این تحقیق برای بررسی نقش متغیرهای اقلیمی در رخداد گردوخاک در منطقه غرب آسیا از سه متغیر دما، تندا باد و بارش استفاده شده است. منطقه مورد مطالعه همانطور که پیش‌تر توضیح داده شد از نظر جغرافیایی یک منطقه وسیع است و داده‌های مشاهداتی برای سایر کشورها بدلاًیل بسیاری زیادی همانند فقدان داده اندازه‌گیری، طول دوره آماری ناکافی و در نهایت مسائل سیاسی و ... در دسترس نمی‌باشد. برای این منظور، جهت درستی‌سنجدی سه متغیر ثابت‌برده از مجموعه داده ERA5 هفت پهنه اقلیمی غالب در منطقه غرب آسیا شناسایی و سپس از هر پهنه اقلیمی یک ایستگاه به عنوان نماینده از داده‌های ایستگاه‌های هواشناسی همدیدی ایران انتخاب و درستی‌سنجدی با استفاده از سه سنجه کارایی کلینگ-گوپتا (KGE)، ضریب توافق (d) و ضریب همبستگی (r) انجام شد. روابط آماری این سه سنجه در [جدول ۲](#) ارائه شده است. همبستگی، مقدار ارتباط خطی بین دو متغیر را اندازه‌گیری می‌کند. این روش یک مقدار واحد بین -۱ و ۱ ارائه می‌دهد، که در آن -۱ نشان‌دهنده همبستگی منفی کامل، +۱ نشان‌دهنده همبستگی مثبت کامل و ۰ بیانگر نبود ارتباط خطی است. در ارزیابی کارایی مدل یا مجموعه داده‌های بازتحلیل و یا حتی داده‌های ماهواره‌ای برای متغیرهای اقلیمی، شاخص توافق ویلموت (d) ابزاری ارزشمند ارائه می‌کند. این سنجه مقدار توافق بین داده‌های شبیه‌سازی‌شده و داده‌های مشاهداتی را ارزیابی می‌کند و دامنه آن از -۱ (عدم توافق) تا ۱ (طباق کامل) است. شاخص d هم تفاوت در میانگین و هم تغییرات را در نظر می‌گیرد و در مقایسه با روش‌هایی که فقط بر همبستگی تمرکز می‌کنند، ارزیابی جامع‌تری ارائه می‌دهد ([Willmott, 1984](#)). سنجه کارایی کلینگ-گوپتا (KGE) با تجزیه کارایی مدل به سه جنبه کلیدی: همبستگی، تغییرات و اریبی، محدودیت‌های سنجه‌های همانند نش-ساتکلیف (NSE) را برطرف می‌کند. سنجه KGE از منفی بی‌نهایت تا ۱ متغیر است و هر چه مقدار آن به ۱ نزدیک‌تر باشد، نشان‌دهنده توافق بهتر بین داده‌های شبیه‌سازی و مشاهداتی است ([Knoben et al., 2019](#)).

در نتیجه عدم قطعیت به دلیل تصحیحات انجام شده در فیزیک مدل و تفکیک افقی تا حد زیادی کاهش یافته است ([Brown et al., 2023](#)).

#### MERRA-2 داده

در این پژوهش جهت بررسی تغییرات غلظت گردوخاک و همچنین آشکارسازی چشم‌های فعل گردوخاک در منطقه مورد مطالعه از محصول<sup>۱</sup> (DUCMASS) در مقیاس ماهانه استفاده شد. این محصول یکی از محصولات مجموعه داده بازتحلیل-2 MERRA-2 با تفکیک افقی ۰/۵ درجه قوسی است. مجموعه داده-2 MERRA-2 یک داده باز تحلیل بلندمدت جوی است که از سال ۱۹۸۰ ناسا با ترکیب نسخه ۵ مدل (GEOS) برای ایجاد مجموعه داده‌های جوی در مقیاس بزرگ تولید نموده است ([Liu et al., 2022](#)). این مجموعه داده اولین بانک داده بازتحلیل جهانی بلندمدت مبتنی بر مشاهدات ماهواره و برونداد مدل است. مجموعه داده فعلی دومین بازنگری ناسا از MODIS است که بر اساس داده‌های ماهواره‌ای MISR ([MERRA Koster et al., 2016](#)) و AVHRR (AERONET تولید شده است). همانطور که گفته شد در این تحقیق از متغیر غلظت گردوخاک استفاده شده است. از آنجایی که متغیر اندازه‌گیری شده ای در کشور برای این غلظت گردوخاک وجود ندارد، لذا امکان درستی‌سنجدی محصول DUCMASS وجود ندارد. با این حال، از آنجایی که این محصول از داده‌های ماهواره‌ای MODIS و MISR و AVHHR و داده‌های اندازه‌گیری شده AERONET در ایستگاه‌های زمینی استفاده می‌کند، دارای عدم قطعیت پایینی خواهد بود. از طرف دیگر درستی سنجی PM2.5 از مجموعه داده MERRA-2 در ایران نشان داده است که این مجموعه داده در برآورد ذرات معلق دارای کارایی قابل قبولی است ([Dadashi-Roudbari et al., 2020](#)).

#### بررسی روند رخداد گردوخاک با استفاده از روش من کندال تصحیح شده

در پژوهش حاضر برای بررسی روند رخداد گردوخاک در منطقه مورد مطالعه از روش من کندال تصحیح شده (MMK) و جهت بررسی شبیه روند از آزمون سنس (SSE) استفاده شده است. آزمون من کندال (MK) یک آزمون ناپارامتریک جهت بررسی روند است. آزمون من-کندال تصحیح شده برای جلوگیری از تأثیر خودهمبستگی سری زمانی داده‌ها یک ضریب تصحیح بر اساس اندازه نمونه مؤثر (ESS) به محاسبات واریانس اضافه می‌کند ([Hamed et al., 1998](#)). برای محاسبه روند داده‌های اقلیمی آزمون من کندال تصحیح شده نسبت به آزمون من کندال کلاسیک قابل اعتمادتر است ([Daufresne et al., 2009](#)). روش ناپارامتریک سنس جهت برآورد نمودن شبیه واقعی یک

## جدول ۲- سنجه‌های آماری مورد استفاده شده در پژوهش برای درستی‌سنجی

Table 2- Statistical metrics used in the research for evaluation

Statistical measure	روش محاسبه
کارایی کلینگ-گوتا Kling-Gupta efficiency	$KGE = 1 - \sqrt{(r-1)^2 + \left(\frac{\sigma_{sim}}{\sigma_{obs}} - 1\right)^2 + \left(\frac{\mu_{sim}}{\mu_{obs}} - 1\right)^2}$
ضریب توافق Coefficient of agreement	$d = 1 - \left[ \frac{\sum_{i=1}^n (sim_i - obs_i)^2}{\sum_{i=1}^n ( sim'_i  +  obs'_i )^2} \right]$
ضریب همبستگی The correlation coefficient	$r = \frac{(sim_t - \bar{sim})(obs_t - \bar{obs})}{\sqrt{\sum(sim_t - \bar{sim})^2 \sum(obs_t - \bar{obs})^2}}$

(جدول ۳). بطور کلی مجموعه داده AgERA5 در برآورد متغیرهای اقلیمی دارای کارایی قابل قبولی است و می‌توان از نتایج آن در مناطق فاقد داده همانند بخش‌های بزرگی از غرب آسیا، آسیای جنوبی و آسیای مرکزی به عنوان مکمل یا جایگزین داده‌های مشاهداتی استفاده کرد. بررسی تغییرات ماهانه غلظت گردوخاک حاصل از برونداد MERRA-2 طی دوره زمانی ۱۹۸۱ تا ۲۰۲۰ نشان داد که رخداد گردوخاکتابع فصل بوده و مقادیر آن بسته به فصل، طول و عرض جغرافیایی و اقلیم حاکم در منطقه مورد مطالعه تغییرات زیادی را از خود نشان می‌دهد (شکل ۲). در غرب آسیا هسته‌های بیشینه گردوخاک از ماه مارس پدیدار می‌شوند و در ماههای ژوئیه (۱۰/۱۱) گرم بر متر مربع (۰/۲۵) و اوت (۰/۲۵) گرم بر متر مربع) با میانگین بلند مدت به بیشینه مقادار خود در طول سال می‌رسند. در ماههای گرم سال بیشینه غلظت گردوخاک در منطقه بین النهرین و بیابان ربع‌الخلی و الدھنا و النفوڈ در عربستان و مناطق بیابانی سوریه و عمان بهدلیل کاهش بارش، افزایش دما و تندری باد و فعل اشدن چشممه‌های گردوخاک مشاهده می‌شود. این نتیجه در توافق با یافته‌های پیشین (Dadashi-Roudbari, 2020) از اقلیم‌شناسی رخداد گردوخاک در منطقه است. غلظت گردوخاک در منطقه رابطه معکوسی را به عرض جغرافیایی نشان می‌دهد بطوری که در بالاتر از مدار ۳۵ درجه شمالی از غلظت گردوخاک به مقادیر قابل توجهی کاسته خواهد شد. البته باید توجه داشت که استثنایی در این زمینه در آسیای مرکزی واقع در بیابان قزل قوم، قره قوم، بستر خشکیده آرال قوم و قره بغاز در ترکمنستان دیده می‌شود. این مقدار از غلظت بالای گردوخاک در حوالی مدار ۴۰ درجه شمالی شاید دور از انتظار باشد اما بهدلیل دست‌کاری بشر در بستر رودها و تغییر کاربری اراضی این مناطق به چشممه‌های فعل گردوخاک تبدیل شده‌اند و سرانه مقادیر بالایی از گردوخاک را به سمت شمال شرق ایران و کلانشهر مشهد تراپزید می‌کنند (Zarrin et al., 2021).

در روابط بالا  $sim_i$  مقدار برآورد شده،  $obs_i$  مقدار مشاهداتی (ایستگاه‌های همدیدی) و  $n$  تعداد کل داده‌ها را نشان می‌دهد. تفاضل داده برآورده شده و میانگین کل داده‌های  $sim_i$  در جامعه‌آماری است و  $obs'_i$  تفاضل داده مشاهداتی و میانگین کل داده‌های  $obs_i$  در جامعه‌آماری است.

## بحث

متغیرهای اقلیمی تغییرپذیری زیادی را در پهنه‌های اقلیمی مختلف دارند. در این تحقیق با توجه به در دسترس بودن داده‌های اقلیمی مشاهداتی ایران یک درستی‌سنجی از برونداد مجموعه داده AgERA5 برای سه متغیر بارش، تندری باد و دما برای هفت پهنه اقلیمی غالب و اصلی در منطقه غرب آسیا انجام شده است. نتایج درستی‌سنجی برای هفت پهنه اقلیمی نماینده در غرب آسیا نشان داده است از بین سه متغیر مورد بررسی مجموعه داده AgERA5 دما را بهتر از بارش و تندری باد برآورد می‌کند. بطوری که ضریب همبستگی و ضریب توافق به دست آمده برای دما در سطح پهنه‌های اقلیمی نماینده به ترتیب بین ۰/۷۳ و ۰/۹۷ تا ۰/۰ محسوبه شده است (جدول ۳). مقدار سنجه KGE نیز در ایستگاه‌های مورد بررسی بیشتر از ۰/۶۲ بوده است و برای بیشتر ایستگاه‌ها این مقدار بالاتر از ۰/۸ است که نشان دهنده کارایی بالای مجموعه داده AgERA5 در برآورد دما در این پهنه‌های اقلیمی است. متغیر بارش نیز کارایی خوبی را در پهنه‌های اقلیمی نماینده داشته است. بطوری که مقدار همبستگی این متغیر بین ۰/۶۸ و ۰/۹۱ تا ۰/۰ محسوبه شده است. نتیجه ضریب توافق نیز نتایج به دست آمده توسط همبستگی را تأیید می‌نماید. از بین سه متغیر مورد بررسی مجموعه داده AgERA5 تندری باد را نسبت به دو متغیر بارش و دمای هوا با دقت کمتری برآورد کرده است. بطوری که مقدار ضریب همبستگی بین ۰/۴۸ و ۰/۷۲ تا ۰/۰ به دست آمده است. مقدار سنجه KGE نیز در تمامی ایستگاه‌های نماینده مورد بررسی ۰/۴ محسوبه شده است

جدول ۳- درستی سنجی مجموعه داده AgERA5 در برآورد متغیرهای اقلیمی بارش، دما و تندی باد در پهنه‌های اقلیمی

Table 3- Evaluation of AgERA5 dataset in estimating climate variables of precipitation, temperature and wind speed in climate zones

ایستگاه Station	نماینده پهنه اقلیمی Representative of the climatic zone	بارش Precipitation		کارایی کلینگ-گوپتا KGE
		همبستگی Correlation	ضریب توافق Coefficient of agreement	
Yazd	BWh	0.75	0.78	0.69
Mashhad	BWk	0.71	0.76	0.68
Shiraz	BSh	0.91	0.93	0.82
Tabriz	BSk	0.68	0.54	0.44
Babolsar	Csa	0.75	0.77	0.59
Rasht	Cfa	0.75	0.84	0.65
Shahr e Kord	Dsa	0.71	0.64	0.57

ایستگاه Station	نماینده پهنه اقلیمی Representative of the climatic zone	دما Temperature		کارایی کلینگ-گوپتا KGE
		همبستگی Correlation	ضریب توافق Coefficient of agreement	
Yazd	BWh	0.97	0.81	0.85
Mashhad	BWk	0.95	0.93	0.94
Shiraz	BSh	0.92	0.87	0.81
Tabriz	BSk	0.93	0.93	0.76
Babolsar	Csa	0.92	0.76	0.83
Rasht	Cfa	0.92	0.73	0.62
Shahr e Kord	Dsa	0.87	0.69	0.65

ایستگاه Station	نماینده پهنه اقلیمی Representative of the climatic zone	تندی باد Wind		کارایی کلینگ-گوپتا KGE
		همبستگی Correlation	ضریب توافق Coefficient of agreement	
Yazd	BWh	0.48	0.48	0.44
Mashhad	BWk	0.59	0.43	0.42
Shiraz	BSh	0.58	0.49	0.48
Tabriz	BSk	0.72	0.52	0.49
Babolsar	Csa	0.52	0.49	0.48
Rasht	Cfa	0.51	0.42	0.43
Shahr e Kord	Dsa	0.62	0.54	0.49

بخصوص در بین النهرين، دشت لوت، بیابان ربع الخالى، الدهنا، دشت سیستان به شکل مناطق قابل توجهی نمایان شده است. در مقابل کمینه دما مناطق کوهستانی و مناطق دارای پوشش گیاهی انبوه همانند شمال ایران و شمال ترکیه به شکل چشمگیری کمتر از سایر مناطق است که این امر نقش مهم تأثیر توپوگرافی و پوشش گیاهی را در تعديل دما به خوبی نشان می دهد.

مقایسه هسته های بیشینه (شکل ۲-ب) با بیشینه غلظت گردوخاک نشان می دهد که مناطقی با دمای هوای بالا مقادیر غلظت گردوخاک بالایی نیز دارند. این نتیجه در وهله نخست می تواند ناشی از کاهش قابل توجه رطوبت خاک در مناطق نامبرده باشد که جریانات هوا به راحتی باعث جابجایی آن می شود. از سوی دیگر افزایش دما در فصول گرم سال، اقلیم بیابانی خشک و نیمه خشک در عراق و عربستان، بخش هایی از سوریه و اردن و مناطق جنوب شرقی ایران و جنوب غربی کشور پاکستان گردایان فشار بین مناطق با دمای کمتر و مناطقی با دمای بیشتر، شرایط را برای صعود هوا در سطح زمین فراهم می کند که شرایط را برای تراپید ذرات گردوخاک فراهم می کند.

بارش در منطقه غرب آسیا دارای وردایی بسیار زیادی در طول جغرافیایی است. بطوری که بیشینه هسته های بارشی بر فراز کشور ترکیه، کشورهای حوضه قفقاز، سواحل جنوبی دریای خزر و رشته کوه زاگرس با مقادیر ماهانه بیش از ۳۵۰ میلی متر بر اساس برونداد مجموعه داده AgERA5 دیده می شود (شکل ۲-ج). بیشینه بارش مطابق با انتظار در ماه های سرد سال و در غرب و شمال غرب منطقه مورد مطالعه اتفاق افتاده است و مقادیر بالای بارش های ثبت شده در ماه های ژوئیه و اوت در مناطق شرقی پاکستان مربوط به بارش های موسمی تابستانه است. سواحل جنوبی دریای خزر نیز در ماه های مختلف سال مقادیر بالایی از بارش را نشان می دهد که این مقادیر در فصل پاییز بیش از سایر فصول است. از ماه دسامبر تا مارس غرب و شمال غرب ایران به دلیل توپوگرافی و وجود رشته کوه های زاگرس مقادیر بالای بارش را نشان می دهند. مقایسه پهنه های بارشی با غلظت گردوخاک به روشنی نشان دهنده رابطه معکوس بین این دو متغیر در منطقه مورد مطالعه است که نتایج آن در نقشه همبستگی ارائه شده در شکل ۳ مشاهده شود.

مناطق وسیعی در غرب و جنوب غرب و جنوب منطقه مورد مطالعه در کشورهای عربستان، عراق، یمن و عمان مقادیر پایینی از بارش را در طول سال دارند بطوری که مقدار متوسط سالانه بارش در عربستان (۸۴/۰۱ میلی متر)، عراق (۲۲۴/۸۹ میلی متر)، یمن (۱۷۱/۴۶ میلی متر) و عمان (۵۰/۰۱ میلی متر) می باشد که یکی از دلایل اصلی افزایش غلظت گردوخاک در این مناطق می باشد چرا که کاهش بارش باعث کاهش رطوبت خاک و آسیب پذیری آن در مقابل فرسایش بادی می شود و ذرات بیشتری را جهت تراپید در دسترس باد قرار می دهد.

در فصول گرم سال در عرض های پایین به دلیل وجود مناطق وسیع بیابانی شامل بیابان ربع الخالی، النفوذ و الدهنا در عربستان و بین النهرين و مناطق بیابانی عراق و سوریه مقادیر قابل توجهی از گردوخاک را شاهد هستیم که هسته های بیشینه آن در بهار در جنوب و غرب منطقه مورد مطالعه شکل گرفته و استان های غربی و جنوب غرب ایران شامل ایلام، کردستان و خوزستان را به شدت تحت تأثیر قرار می دهند. وجود رشته کوه های زاگرس به عنوان سدی مانع از تراپید گرد و خاک به فلات مرکزی ایران شده است و این مسئله نقش توپوگرافی را در کاهش گردوخاک در منطقه مورد مطالعه به خوبی نشان می دهد و در مقابل دست کاری بشر در تغییر بستر رودها و خشک شدن دریاچه ها و تغییر کاربری اراضی در منطقه مورد مطالعه به دلیل اقلیم خشک و نیمه خشک حاکم بر آن، جریانات غربی و وجود بیابان های عظیم از عوامل تشید گردوخاک در منطقه مورد مطالعه می باشد.

غلظت گردوخاک در راستای طول جغرافیایی نیز تغییرات زیادی را نشان می دهد بطوری که هرچه از مدار ۲۰ درجه شرقی به مدار ۸۰ درجه شرقی پیش برویم از غلظت گردوخاک کاسته می شود اما وجود دو کانون فعال گردوخاک شامل بیابان تار در پاکستان و دشت مارگو در افغانستان این نظم کاهشی را بر هم می زند و در این مناطق مقادیر قابل توجهی از گرد و خاک مشاهده می شود که استان های شرقی و جنوب شرق ایران را تحت تأثیر قرار می دهند و در دوره گرم سال مقادیر قابل توجهی از گردوخاک را به شرق و جنوب شرق ایران تراپید می کنند.

همانطور که در پهنه بندی اقلیمی کوین گایگر نشان داده شد (شکل ۱) غرب و جنوب غرب منطقه مورد مطالعه و مناطق مرکزی، جنوب و جنوب شرق ایران اقلیم بیابانی گرم (BWh) دارد این مناطق از اوایل بهار با افزایش دما و تندری باد و کاهش بارش مواجه می شوند که با کاهش رطوبت خاک از ماه های مارس چشمه های مارس چشمه های فعال گردوخاک شروع به فعالیت کرده و در ماه های ژوئن و ژوئیه شدت پیدا می کنند و گردوخاک قابل توجهی را به سمت غرب ایران تراپید می کنند و به سمت عرض های پایین مناطق شرقی گسترش می یابد. در مقابل در دوره سرد سال در ماه های دسامبر و ژانویه با کاهش دما و افزایش بارش و رطوبت خاک فعالیت چشمه های گردوخاک کاهش می یابد (مقادیر همبستگی نزدیک ۰/۷-۰/۷) (شکل ۳).

بررسی تغییرات ماهانه متغیرهای اقلیمی دما، بارش و تندری باد حاصل از داده های AgERA5 در منطقه مورد مطالعه (شکل ۲) نشان می دهد که این سه متغیر اقلیمی دارای تغییر پذیری بسیاری بسیاری در منطقه مورد مطالعه هستند. در کشورهای عراق، عربستان، سوریه، عمان و یمن و مناطق مرکزی، جنوب و جنوب شرق ایران که دارای اقلیم بیابانی گرم است از اوخر بهار هسته های بیشینه در منطقه آشکار شده و دما در ماه های ژانویه تا اوخت نزدیک به ۴۰ درجه سلسیوس می رسد (۳۹/۹۳ درجه سلسیوس). بیشینه مقادیر دما در دوره گرم سال

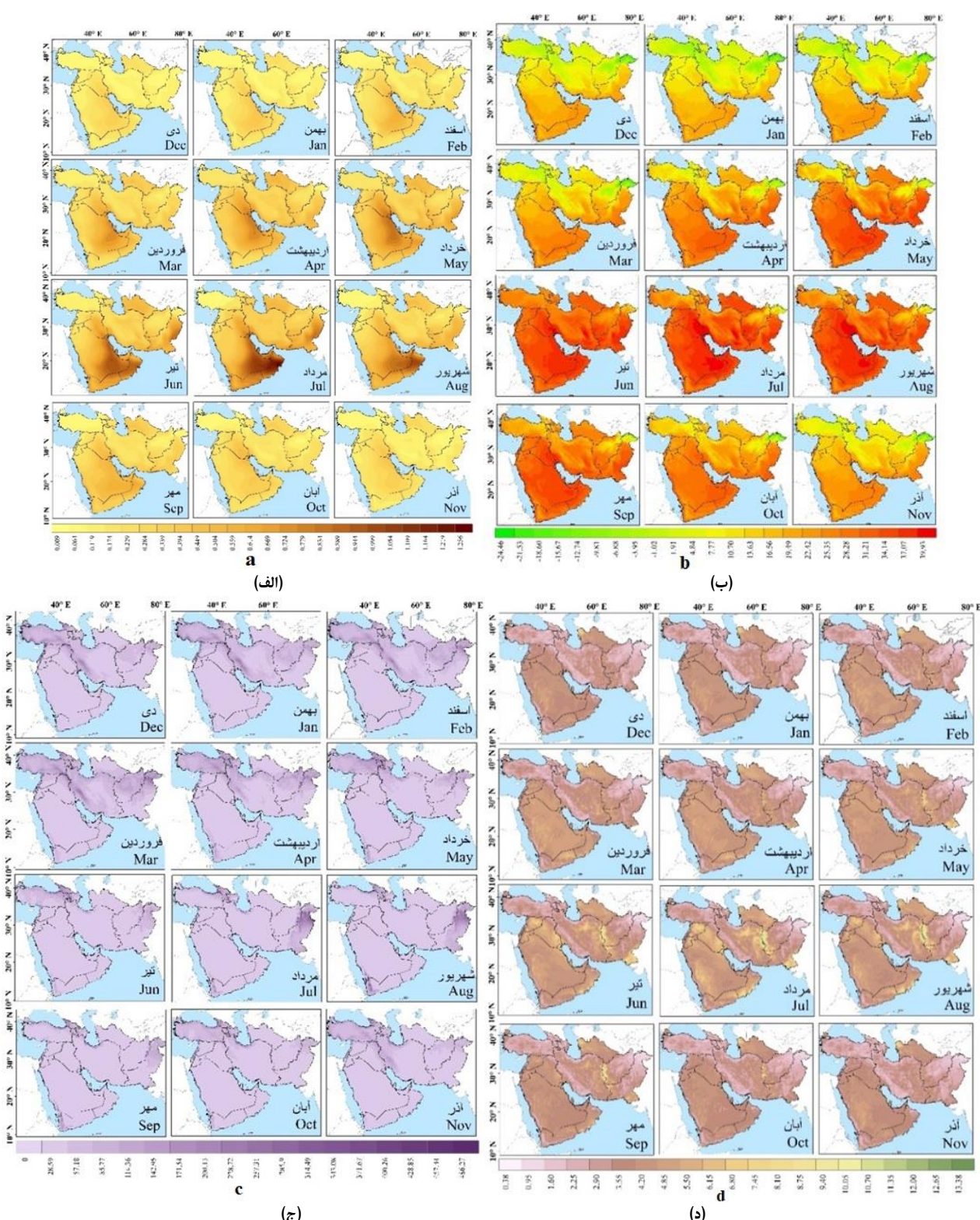
ماههای ژوئن و ژوئیه به اوج می‌رسد و از ماه سپتامبر شدت روند کاهش می‌یابد و در ماه دسامبر به حداقل مقدار خود می‌رسد.

بررسی تغییرات ماهانه تندی باد نشان داد که این متغیر تابع فصل بوده و در ماههای ژوئن تا اوت در فصل بهار مقادیر بیشینه میانگین بلند مدت را با مقادیر  $11/3$  متر بر ثانیه و  $13/3$  متر بر ثانیه نشان می‌دهند. بدلیل تفکیک افقی بالای داده‌های AgERA5 دو باد منطقه‌ای بسیار مهم در غرب آسیا توسط این داده‌ها آشکار شده است. همانطور که در [شکل \(۵-۲\)](#) دیده می‌شود هسته‌های بیشینه تندی باد در ماههای می تا نوامبر در شرق ایران در مز کشور افغانستان دیده می‌شود. این مقادیر از تندی باد در منطقه بدلیل باد  $120$  روزه سیستان است که باعث افزایش غلظت گردخاک در دشت سیستان و بخصوص منطقه زابل می‌شود.

منطقه بیشینه بعدی با تندی باد در فصل تابستان بر فراز منطقه بین‌النهرین تا کشور کویت و بخش‌های شمال شرقی کشور عربستان دیده می‌شود، به طوری که میانگین تندی باد برای این منطقه در فصل تابستان  $5/30$  متر بر ثانیه می‌باشد این کانون بیشینه از تندی باد به دلیل باد شمال تابستانه است که غلظت گردخاک را در طول فصل تابستان بر فراز بین‌النهرین، کشور کویت و بخش‌هایی از جنوب غرب به شکل قابل توجهی افزایش می‌دهد. بطور کلی تندی باد با افزایش عرض جغرافیایی کاهش می‌یابد. در بخش‌های شمالی کشور ترکیه و ایران و بخش‌های بزرگی از شمال شرق کشورهای افغانستان و پاکستان که تندی باد کمینه دارند مقدار غلظت گردخاک نیز به شکل قابل توجهی کاهش یافته است که نشان‌دهنده رابطه مستقیم این دو متغیر است ([شکل ۳](#)).

بررسی محرک‌های احتمالی اقلیمی در تغییرات غلظت گردخاک برای مناطق مختلف با محاسبه همبستگی بین سری‌های زمانی غلظت گردخاک و متغیرهای دما، بارش و تندی باد مورد بررسی قرار گرفته است. نتایج نشان داد بین غلظت گردخاک و بارش همبستگی معکوس و بین غلظت گردخاک با دما و تندی باد رابطه مستقیم وجود دارد. بالاترین همبستگی‌ها بین غلظت گردخاک و دما محاسبه شده است که این مقدار در ماههای گرم سال به  $8/0$  نیز رسیده است. در مقابل بالاترین همبستگی‌های منفی نیز در دوره سرد سال (فصل زمستان و پاییز) بین غلظت گردخاک و بارش با مقدار  $7/0$  محاسبه شده است. ضریب همبستگی بین غلظت گردخاک و تندی باد در ماههای ژانویه تا می و نوامبر تا دسامبر عمدهاً بالای  $6/0$  است این مقدار در فصل تابستان همبستگی کمتری را نشان می‌دهد ([شکل ۳](#)).

روند غلظت گرد و خاک در چهار دهه گذشته (۱۹۸۱ تا ۲۰۲۰) برای مقادیر ماهانه مورد بررسی قرار گرفته است ([شکل ۴](#)). در بیشتر ماههای سال غلظت گردخاک روند افزایشی را در غالب مناطق نشان می‌دهد، از ماههای مارس تا ژوئیه روند افزایشی در چشمه‌های فعال گردخاک در بین‌النهرین، بیابان‌های عراق و سوریه، بیابان ربع‌الحالی، الدهنا و النفود در عربستان و بیابان تار در پاکستان مشاهده می‌شود. این روند افزایشی به صورت چرخه‌ای از اوایل بهار شروع می‌شود و در



شکل ۲- پراکنش فضایی ماهانه؛ (الف) غلظت گردخاک (واحد: گرم بر متر مربع)، (ب) دما (واحد: درجه سلسیوس)، (ج) بارش (واحد: میلی‌متر)، (د) تندی باد (واحد: متر بر ثانیه)، طی دوره آماری ۱۹۸۱-۲۰۲۰

Figure 2- Monthly spatial distribution; a) Dust column mass density (unit: g/m<sup>2</sup>), b) temperature (unit: °C), c) precipitation (unit: mm), d) wind speed (unit: m/s), during the 1981-2020

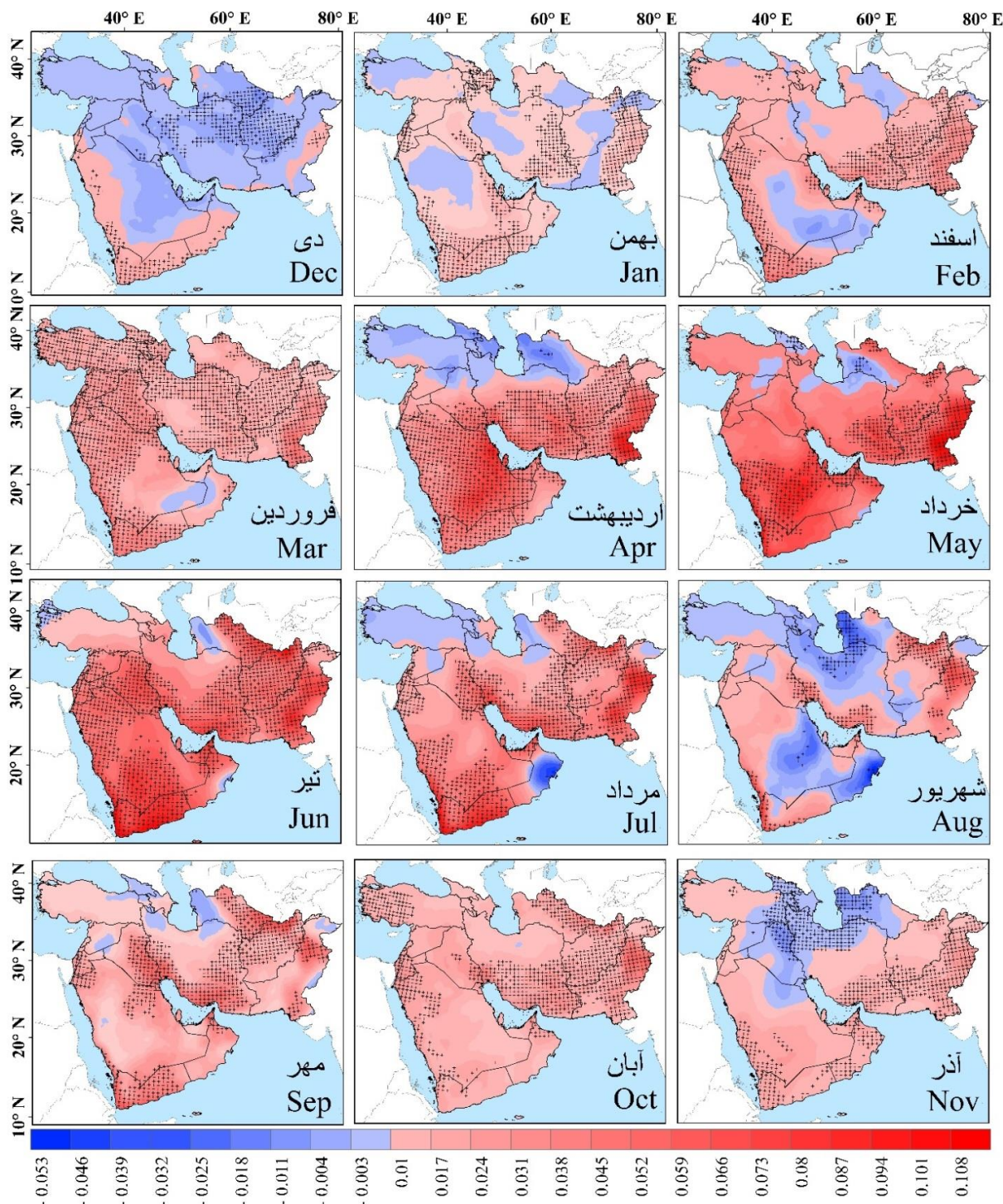
	Dust.jan	Dust.feb	Dust.mar	Dust.apr	Dust.may	Dust.jun	Dust.jul	Dust.aug	Dust.sep	Dust.oct	Dust.nov	Dust.dec
pr-jan	-0.50	-0.50	-0.49	-0.47	-0.55	-0.60	-0.56	-0.59	-0.62	-0.51	-0.47	-0.49
pr-feb	-0.55	-0.54	-0.53	-0.53	-0.60	-0.60	-0.55	-0.59	-0.65	-0.57	-0.53	-0.55
pr-mar	-0.56	-0.55	-0.54	-0.54	-0.60	-0.59	-0.54	-0.58	-0.64	-0.58	-0.53	-0.55
pr-apr	-0.56	-0.57	-0.57	-0.59	-0.63	-0.59	-0.56	-0.58	-0.64	-0.60	-0.54	-0.55
pr-may	-0.53	-0.54	-0.55	-0.58	-0.61	-0.54	-0.50	-0.53	-0.60	-0.60	-0.53	-0.52
pr-jun	-0.44	-0.44	-0.44	-0.47	-0.48	-0.38	-0.34	-0.38	-0.46	-0.50	-0.45	-0.44
pr-jul	-0.30	-0.28	-0.27	-0.27	-0.23	-0.11	-0.09	-0.14	-0.22	-0.29	-0.32	-0.32
pr-aug	-0.28	-0.26	-0.26	-0.21	-0.08	-0.05	-0.11	-0.18	-0.27	-0.30	-0.30	-0.30
pr-sep	-0.34	-0.33	-0.34	-0.35	-0.33	-0.23	-0.20	-0.24	-0.30	-0.35	-0.34	-0.34
pr-oct	-0.45	-0.47	-0.48	-0.49	-0.53	-0.49	-0.45	-0.48	-0.52	-0.49	-0.43	-0.44
pr-nov	-0.44	-0.45	-0.45	-0.43	-0.51	-0.56	-0.53	-0.55	-0.57	-0.44	-0.38	-0.41
pr-dec	-0.46	-0.47	-0.46	-0.45	-0.53	-0.58	-0.54	-0.57	-0.60	-0.48	-0.43	-0.45
Wind-jan	0.56	0.54	0.53	0.53	0.54	0.46	0.37	0.44	0.55	0.58	0.60	0.59
Wind-feb	0.58	0.56	0.55	0.56	0.56	0.48	0.41	0.46	0.57	0.60	0.61	0.60
Wind-mar	0.58	0.57	0.55	0.56	0.57	0.50	0.42	0.48	0.58	0.60	0.61	0.60
Wind-apr	0.56	0.54	0.54	0.57	0.58	0.49	0.41	0.47	0.57	0.61	0.60	0.58
Wind-may	0.48	0.48	0.48	0.53	0.54	0.45	0.39	0.43	0.51	0.55	0.52	0.50
Wind-jun	0.44	0.43	0.44	0.51	0.51	0.39	0.33	0.35	0.44	0.53	0.50	0.46
Wind-jul	0.38	0.37	0.36	0.41	0.43	0.35	0.29	0.31	0.39	0.45	0.42	0.40
Wind-aug	0.36	0.35	0.35	0.39	0.41	0.33	0.28	0.30	0.37	0.43	0.41	0.38
Wind-sep	0.39	0.38	0.38	0.43	0.43	0.35	0.30	0.33	0.41	0.47	0.44	0.42
Wind-oct	0.45	0.44	0.43	0.46	0.46	0.38	0.31	0.36	0.48	0.52	0.52	0.49
Wind-nov	0.55	0.53	0.51	0.52	0.53	0.44	0.35	0.42	0.55	0.58	0.61	0.59
Wind-dec	0.56	0.54	0.52	0.52	0.53	0.45	0.37	0.43	0.55	0.58	0.60	0.60
Tas-jan	0.65	0.65	0.63	0.59	0.69	0.77	0.75	0.78	0.79	0.64	0.55	0.61
Tas-feb	0.66	0.66	0.65	0.61	0.71	0.78	0.76	0.79	0.80	0.65	0.57	0.62
Tas-mar	0.68	0.69	0.68	0.65	0.75	0.80	0.78	0.80	0.81	0.68	0.60	0.65
Tas-apr	0.70	0.71	0.72	0.70	0.78	0.80	0.78	0.80	0.82	0.72	0.63	0.67
Tas-may	0.73	0.74	0.75	0.75	0.81	0.79	0.76	0.78	0.82	0.76	0.68	0.70
Tas-jun	0.71	0.73	0.74	0.76	0.80	0.74	0.70	0.73	0.79	0.78	0.70	0.70
Tas-jul	0.73	0.74	0.75	0.77	0.79	0.69	0.65	0.68	0.76	0.80	0.74	0.73
Tas-aug	0.75	0.75	0.76	0.78	0.79	0.69	0.64	0.68	0.77	0.81	0.75	0.75
Tas-sep	0.73	0.73	0.74	0.75	0.79	0.72	0.68	0.71	0.79	0.78	0.71	0.72
Tas-oct	0.70	0.70	0.70	0.71	0.77	0.74	0.72	0.74	0.79	0.73	0.65	0.68
Tas-nov	0.67	0.67	0.67	0.64	0.73	0.77	0.76	0.78	0.79	0.67	0.58	0.64
Tas-dec	0.65	0.64	0.63	0.59	0.69	0.76	0.75	0.78	0.78	0.63	0.55	0.61

شکل ۳- ضریب همبستگی بدون تاخیر و تاخیرهای ۱ ماهه تا ۱۲ ماهه بین غلظت گردودخاک (DUCMASS) ماهانه با متغیرهای اقلیمی بارش (Tas)، تنفسی باد (Wind) و دما (Pr)

Figure 3- Correlation coefficient between monthly dust mass density with climate variables of precipitation (Pr), wind speed (Wind) and temperature (Tas).

سال همانند اکتبر، ژانویه و فوریه دارای روند افزایشی است. این روند در ماه ژانویه در منطقه شمال شرقی ایران دارای روند افزایشی معنی دار در سطح ۰/۰۵ است. این روند افزایشی می تواند در تغییرات مقدار بار ورودی ذرات گردودخاک به شهرهای شمال شرقی ایران از جمله کلانشهر مشهد نقش داشته باشد. یکی از کانون های با روند افزایشی بیشینه معنی دار در منطقه غرب آسیا، در جنوب شرقی ایران و بخش های غربی کشورهای افغانستان و پاکستان است، بطوری که دما در این منطقه روند افزایشی معنی دار را در سطح ۰/۰۵ برای غلظت گردودخاک نشان داده است (شکل ۴). پس از این منطقه سواحل خلیج فارس و بخصوص جنوب غربی ایران با هفت ماه از سال با روند افزایشی معنی دار در غلظت گردودخاک بیشینه روند افزایشی این متغیر را نشان داده اند.

نکته حائز اهمیت این است که چرخه تغییرات روند ماهانه غلظت گردودخاک با چرخه تغییرات غلظت گردودخاک منطبق می باشد. بخش های شمالی ایران و کشور ترکیه بالاترین فراوانی را در بین ماههای مختلف سال با روند کاهشی غلظت گردودخاک دارند. روند افزایشی غلظت گردودخاک در فصول بهار و تابستان در مناطق بین النهرین، بیابان های عراق، سوریه و یمن، دشت سیستان و بیابان تار در پاکستان و جنوب شرق ایران در سطح ۰/۰۵ معنی دار است (شکل ۴). بررسی روند غلظت گردودخاک نشان داده است که روند افزایشی در هشت ماه از سال در منطقه بین النهرین داری روند افزایشی معنی دار در سطح ۰/۰۵ است. این روند افزایشی در منطقه یاد شده برای غرب و جنوب غرب ایران یک تهدید جدی است. در نقطه مقابل غلظت گردودخاک در شمال شرقی ایران بر فراز ترکمنستان دارای روند کاهشی در هشت ماه از سال است. با این حال روند این متغیر در ماههای سرد



شکل ۴- روند غلظت گردودخاک ماهانه در بازه زمانی ۱۹۸۱-۲۰۲۰ بر اساس برونداد مجموعه داده MERRA-2

مناطق همراه با هاشور در نقشه معنی داری روند را در سطح  $<0.05$  بر اساس روش من-کندال تصحیح شده نشان می دهند ( واحد: گرم/متر مربع/دهه).

**Figure 4- Monthly dust mass density trends in the 1981-2020 based on the MERRA-2 dataset**  
 Areas with hatches in the map show significant trends at the 0.05 level based on the modified Mann-Kendall test (unit:  $\text{g}/\text{m}^2/\text{decade}$ ).

رابطه معکوس دارد. البته این رابطه معکوس برای چشمه‌های گردوخاک صادق است و در مناطقی مانند غرب و جنوب غرب ایران با وجود بارش‌های مناسب شاهد افزایش غلظت گردوخاک می‌باشیم که این نکته تأثیر چشمه‌های برون مرزی را در تراپزید گردوخاک به این مناطق نشان می‌دهد همین نکته در شرق پاکستان هم مشاهده می‌شود که با وجود مقادیر بالای بارش شاهد مقادیر بالایی از غلظت گردوخاک نیز هستیم که علت آن وجود چشمeh فعال گردوخاک مربوط به بیابان تار و وجود شهرهای پرجمعیت پیشاور، راولپنڈی، ژوب، لاہور، مولتان، خان، روہری و کراچی می‌باشد (Alam et al., 2010).

تفییرات میانگین بلندمدت متغیر دما نشان می‌دهد غلظت گردوخاک با دما رابطه مستقیم دارد و چشمه‌های فعال گردوخاک در عراق (منطقه میانرود یا بین‌النهرین)، مناطق بیابانی کشور عربستان (بیابان ربع‌الحالی، الدھنا، النفوڈ)، پاکستان (بیابان تار)، ترکمنستان (بیابان قزل قوم، قره قوم، بستر خشکیده آرال قوم و قره بغاز) دارای بیشینه دما می‌باشند. البته موارد استثنای همچون دشت لوت در ایران با وجود دمای بالا، گردوخاک پایینی دارد. چرا که رشته کوه‌های زاگرس همانند سدی مانع از تراپزید گردوخاک به این منطقه شده است.

در فصل تابستان تندی باد در منطقه مورد مطالعه افزایش چشمگیری دارد که باعث افزایش غلظت گردوخاک از چشمه‌های بین النهرین، بیابان‌های عراق و سوریه به سمت استان‌های غربی ایران می‌باشد. از سوی دیگر در ارتفاعات و عرض‌های چهارگانه بالا تندی باد به طور قابل توجهی کاهش می‌یابد که این امر به همراه مقدار پوشش گیاهی بالای این مناطق و دوری از چشمه‌های گردوخاک فعال در غرب آسیا باعث شده است تا این مناطق مقدار غلظت گردوخاک پایینی را داشته باشند.

بررسی ضرایب همبستگی بدون تأخیر و با تأثیر نشان داده است که بین متغیرهای اقلیمی تندی باد و دما با غلظت گردوخاک در غرب آسیا رابطه مستقیم وجود دارد در مقابل بین غلظت گردوخاک و بارش همبستگی منفی دیده می‌شود. بالاترین ضرایب همبستگی مستقیم بین غلظت گردوخاک و دما به دست آمده است و بالاترین ضریب همبستگی معکوس نیز بین غلظت گردوخاک و بارش بخصوص در ماه‌های سرد سال محاسبه شده است.

بررسی روند غلظت گردوخاک ماهانه نشان داده است که مقدار این متغیر در اکثر ماه‌های سال در مناطقی با گردوخاک بالا همانند بین النهرین، جنوب‌غربی ایران، جنوب و جنوب شرقی ایران دارای روند افزایشی معنی دار در سطح ۰/۰۵ است.

بیشینه روند افزایشی غلظت گردوخاک ۱/۰ گرم/متر مربع/دهه در ماه‌های آوریل تا اوت به دست آمده است و کمینه شدت روند نیز با مقدار ۰/۰۵ گرم/متر مربع/دهه عمدها در ماه‌های سرد سال دیده می‌شود. روند کاهشی معنی دار در سطح ۰/۰۵ همچنین در دوره گرم سال نیز در ماه‌های آوریل، ژوئیه و اوت نیز قابل مشاهده است. بیشینه گستره روند کاهشی در منطقه غرب آسیا در ماه دسامبر و بیشینه گستره روند افزایشی در ماه اکتبر دیده می‌شود. به رغم اینکه این دو به ترتیب بیشینه گستره روند کاهشی و افزایشی را نشان داده‌اند اما بیشینه شدت روند را در اختیار ندارند. بطوری که بیشینه شدت روند افزایشی هم از نظر گستره جغرافیایی و هم شدت در ماه می‌دیده می‌شود. برای روند کاهشی نیز بیشینه گستره و شدت روند کاهشی در ماه اوت به دست آمده است (شکل ۴).

## نتیجه‌گیری

انتشار گردوخاک به عنوان یکی از مخاطرات محیطی در مناطق خشک و نیمه‌خشک به شمار می‌رود. درک عوامل مؤثر در افزایش غلظت گردوخاک برای هشدار اولیه و کاهش آسیب‌های ناشی از آن بسیار مهم است. عوامل زیادی بر الگوهای فضایی و زمانی غلظت گردوخاک تأثیر می‌گذارند این تحقیق به بررسی نقش متغیرهای اصلی اقلیمی همانند دما، بارش و تندی باد در تغییرات غلظت گردوخاک در منطقه غرب آسیا پرداخته است. مهم‌ترین یافته‌های این تحقیق به شرح زیر است:

نتایج نشان داد در ماه‌های سرد سال و بخصوص فصل زمستان، غلظت گردوخاک به دلیل اینکه خاک هنوز مرتبط است و به عنوان عامل بازدارنده مانع از تراپزید گردوخاک می‌شود تغییرات چندانی ندارد. این در حالی است که در تابستان غلظت گردوخاک به دلیل افزایش دما، افزایش تندی باد، کاهش بارش و به تبع آن کاهش رطوبت خاک افزایش می‌یابد.

تغییرات ماهانه غلظت گردوخاک بر اساس برونداد MERRA-2 نشان داد در ماه ژوئیه مساحت زیادی از منطقه مورد مطالعه در پهنه اقلیمی بیابانی گرم و خشک (BWh) مقادیر بالای گردوخاک را در منطقه مورد مطالعه دارند.

بیشینه غلظت گردوخاک در فصول بهار و تابستان به دلیل کاهش بارش، افزایش دما و تندی باد و کمبود پوشش گیاهی و اقلیم بیابانی خشک آن شرایط را برای افزایش غلظت گردوخاک مهیا نموده است. تغییرات ماهانه متغیر بارش نشان داد غلظت گردوخاک با بارش

## References

1. Alam, K., Iqbal, M.J., Blaschke, T., Qureshi, S., & Khan, G. (2010). Monitoring spatio-temporal variations in aerosols and aerosol–cloud interactions over Pakistan using MODIS data. *Advances in Space Research*, 46(9), 1162-1176. <https://doi.org/10.1016/j.asr.2010.06.025>
2. Alonso-Montesinos, J., Martínez, F.R., Polo, J., Martín-Chivelet, N., & Battles, F.J. (2020). Economic effect of dust particles on photovoltaic plant production. *Energies*, 13(23), 6376. <https://doi.org/10.3390/en13236376>
3. Asadi Rahim-Begi, N., Zarrin, A., Modfidi, A., & Dadashi-Roudbari, A. (2022). Seasonal distribution analysis of extreme precipitation in Iran using AgERA5 dataset. *Iranian Journal of Soil and Water Research*, 52(11), 2723-2737. (In Persian). <https://doi.org/10.22059/ijswr.2021.333263.669118>
4. Bell, B., Hersbach, H., Simmons, A., Berrisford, P., Dahlgren, P., Horányi, A., & Thépaut, J.N. (2021). The ERA5 global reanalysis: Preliminary extension to 1950. *Quarterly Journal of the Royal Meteorological Society*, 147(741), 4186-4227. <https://doi.org/10.1002/qj.4174>
5. Moradi, H., Zangane, A.M., & Pourhashemi, S. (2019). Evaluation of the role of drought in frequency of dust in Khorasan Razavi province. (In Persian). <https://doi.org/10.22034/jest.2019.10464>
6. Brown, D., de Sousa, K., & van Etten, J. (2023). ag5Tools: An R package for downloading and extracting agrometeorological data from the AgERA5 database. *SoftwareX*, 21, 101267. <https://doi.org/10.1016/j.softx.2022.101267>
7. Caido, N.G., Ong, P.M., Rempillo, O., Galvez, M.C., & Vallar, E. (2022). Spatiotemporal analysis of MODIS aerosol optical depth data in the Philippines from 2010 to 2020. *Atmosphere*, 13(6), 939. <https://doi.org/10.3390/atmos13060939>
8. Chen, S., Liu, J., Wang, X., Zhao, S., Chen, J., Qiang, M., & Chen, F. (2021). Holocene dust storm variations over northern China: transition from a natural forcing to an anthropogenic forcing. *Science Bulletin*, 66(24), 2516-2527. <https://doi.org/10.1016/j.scib.2021.08.008>
9. Dadashi-Roudbari, A. (2020). Analysis of spatiotemporal variations of vertical and horizontal patterns of aerosols and evaluation of its Climate feedback in Iran, Ph.D. Thesis Urban Climatology, Shahid Beheshti University, Tehran, Iran. (In Persian)
10. Dadashi-Roudbari, A., Ahmadi, M., & Shakiba, A. (2020). Seasonal Study of dust deposition and fine particles (PM 2.5) in Iran Using MERRA-2 data. *Iranian Journal of Geophysics (IJG)*, 13(4), 43-59.
11. Dadashi-Roudbari, A., & Ahmadi, M. (2021). An assessment of change point and trend of diurnal variation of dust storms in Iran: a multi-instrumental approach from in situ, multi-satellite, and reanalysis dust product. *Meteorology and Atmospheric Physics*, 133, 1523-1544. <https://doi.org/10.1007/s00703-021-00825-x>
12. Dar, M.A., Ahmed, R., Latif, M., & Azam, M. (2022). Climatology of dust storm frequency and its association with temperature and precipitation patterns over Pakistan. *Natural Hazards*, 110(1), 655-677. <https://doi.org/10.1002/joc.5019>
13. Daufresne, M., Lengfellner, K., & Sommer, U. (2009). Global warming benefits the small in aquatic ecosystems. *Proceedings of the National Academy of Sciences*, 106(31), 12788-12793. <https://doi.org/10.1073/pnas.0902080106>
14. Fallah Zazuli, M., Vafaeinezhad, A., Kheirkhah Zarkesh, M.M., & Ahmadi Dehka, F. (2014). Source routing of dust haze phenomenon in the west and southwest of Iran and its synoptic analysis by using remote sensing and GIS. *Journal of RS and GIS for Natural Resources*, 5(4), 61-78. (In Persian)
15. Goudie, A.S., & Middleton, N.J. (2006). Desert dust in the global system. *Springer Science & Business Media*.
16. Hamed, K.H., & Rao, A.R. (1998). A modified Mann-Kendall trend test for autocorrelated data. *Journal of Hydrology*, 204(1-4), 182-196. [https://doi.org/10.1016/S0022-1694\(97\)00125-X](https://doi.org/10.1016/S0022-1694(97)00125-X)
17. Hersbach, H., Bell, B., Berrisford, P., Hirahara, S., Horányi, A., Muñoz- Sabater, J., & Thépaut, J.N. (2020). The ERA5 global reanalysis. *Quarterly Journal of the Royal Meteorological Society*, 146(730), 1999-2049. <https://doi.org/10.1002/qj.3803>
18. Heydari, A., Zarrin, A., & Dadashi-Roudbari, A. (2023). Investigating the performance of the deterministic and probabilistic versions (multi-member ensemble) of the ERA5 dataset in estimating Iran's temperature. *Researches in Earth Sciences*, 14(4), 1-20. (In Persian)
19. Jafari, M., Mesbahzadeh, T., Masoudi, R., Zehtabian, G., & Amouei Torkmahalleh, M. (2021). Dust storm surveying and detection using remote sensing data, wind tracing, and atmospheric thermodynamic conditions (case study: Isfahan Province, Iran). *Air Quality, Atmosphere & Health*, 14, 1301-1311. <https://doi.org/10.1007/s11869-021-01021-x>
20. Jiao, D., Xu, N., Yang, F., & Xu, K. (2021). Evaluation of spatial-temporal variation performance of ERA5 precipitation data in China. *Scientific Reports*, 11(1), 17956. <https://doi.org/10.1038/s41598-021-97432-y>
21. Jin, Q., Wei, J., Lau, W.K., Pu, B., & Wang, C. (2021). Interactions of Asian mineral dust with Indian summer monsoon: Recent advances and challenges. *Earth-Science Reviews*, 215, 103562. <https://doi.org/10.1016/j.earscirev.2021.103562>
22. Knoben, W.J., Freer, J.E., & Woods, R.A. (2019). Inherent benchmark or not? Comparing Nash-Sutcliffe and Kling-Gupta efficiency scores. *Hydrology and Earth System Sciences*, 23(10), 4323-4331. <https://doi.org/10.5194/hess-23-4323-2019>

hess-23-4323-2019

23. Koster, R.D., McCarty, W., Coy, L., Gelaro, R., Huang, A., Merkova, D., & Wargan, K. (2016). MERRA-2 input observations: Summary and assessment.
24. Li, Z., Lau, W.M., Ramanathan, V., Wu, G., Ding, Y., Manoj, M.G., & Brasseur, G.P. (2016). Aerosol and monsoon climate interactions over Asia. *Reviews of Geophysics*, 54(4), 866-929. <https://doi.org/10.1002/2015RG000500>
25. Liu, C., Yin, Z., He, Y., & Wang, L. (2022). Climatology of dust aerosols over the Jianghan Plain revealed with space-borne instruments and MERRA-2 reanalysis data during 2006–2021. *Remote Sensing*, 14(17), 4414. <https://doi.org/10.3390/rs14174414>
26. Middleton, N. (2019). Variability and trends in dust storm frequency on decadal timescales: Climatic drivers and human impacts. *Geosciences*, 9(6), 261. <https://doi.org/10.3390/geosciences9060261>
27. Middleton, N., Kashani, S.S., Attarchi, S., Rahnama, M., & Mosalman, S.T. (2021). Synoptic causes and socio-economic consequences of a severe dust storm in the Middle East. *Atmosphere*, 12(11), 1435. <https://doi.org/10.3390/atmos12111435>
28. Mukherjee, T., Vinoj, V., Midya, S.K., & Adhikary, B. (2020). Aerosol radiative impact on surface ozone during a heavy dust and biomass burning event over South Asia. *Atmospheric Environment*, 223, 117201. <https://doi.org/10.1016/j.atmosenv.2019.117201>
29. Rushingabigwi, G., Nsengiyumva, P., Sibomana, L., Twizere, C., & Kalisa, W. (2020). Analysis of the atmospheric dust in Africa: The breathable dust's fine particulate matter PM2.5 in correlation with carbon monoxide. *Atmospheric Environment*, 224, 117319. <https://doi.org/10.1016/j.atmosenv.2020.117319>
30. Sarkar, S., Chauhan, A., Kumar, R., & Singh, R.P. (2019). Impact of deadly dust storms (May 2018) on air quality, meteorological, and atmospheric parameters over the northern parts of India. *GeoHealth*, 3(3), 67-80. <https://doi.org/10.1029/2018GH000170>
31. Shao, Y., Wyrwoll, K.H., Chappell, A., Huang, J., Lin, Z., McTainsh, G.H., & Yoon, S. (2011). Dust cycle: An emerging core theme in Earth system science. *Aeolian Research*, 2(4), 181-204. <https://doi.org/10.1016/j.aeolia.2011.02.001>
32. Shi, L., Zhang, J., Yao, F., Zhang, D., & Guo, H. (2021). Drivers to dust emissions over dust belt from 1980 to 2018 and their variation in two global warming phases. *Science of The Total Environment*, 767, 144860. <https://doi.org/10.1016/j.scitotenv.2020.144860>
33. Soltani, M.J., Motamedvaziri, B., Noroozi, A.A., Ahmadi, H., & Mosaffaei, J. (2021). Identifying and prioritizing the factors affecting the creation of dust in Hendijan City and providing management solutions by DPSIR framework. *Watershed Engineering and Management*, 13(2), 269-282. <https://doi.org/10.22092/ijwmse.2021.352406.1848>
34. Sujitha, P.R., Santra, P., Bera, A.K., Verma, M.K., & Rao, S.S. (2022). Detecting dust loads in the atmosphere over Thar desert by using MODIS and INSAT-3D data. *Aeolian Research*, 57, 100814. <https://doi.org/10.1016/j.aeolia.2022.100814>
35. Sun, J., Ding, K., Lai, Z., & Huang, H. (2022). Global and regional variations and main drivers of aerosol loadings over land during 1980–2018. *Remote Sensing*, 14(4), 859. <https://doi.org/10.3390/rs14040859>
36. Tariq, S., Nawaz, H., Ul-Haq, Z., & Mehmood, U. (2021). Investigating the relationship of aerosols with enhanced vegetation index and meteorological parameters over Pakistan. *Atmospheric Pollution Research*, 12(6), 101080. <https://doi.org/10.1016/j.apr.2021.101080>
37. Willmott, C.J. (1984). On the evaluation of model performance in physical geography. *Spatial Statistics and Models*, 443-460. [https://doi.org/10.1007/978-94-017-3048-8\\_23](https://doi.org/10.1007/978-94-017-3048-8_23)
38. Wu, J., Kurosaki, Y., & Du, C. (2020). Evaluation of climatic and anthropogenic impacts on dust erodibility: A case study in Xilingol Grassland, China. *Sustainability*, 12(2), 629. <https://doi.org/10.3390/su12020629>
39. Yu, C., Li, Z., & Blewitt, G. (2021). Global comparisons of ERA5 and the operational HRES tropospheric delay and water vapor products with GPS and MODIS. *Earth and Space Science*, 8(5), e2020EA001417. <https://doi.org/10.1029/2020EA001417>
40. Zarrin, A., Salehabadi, N., Mofidi, A., & Dadashi-Roudbari, A.A. (2022). Investigation of Seasonal dust in northeastern Iran and numerical simulation of extreme dust events using WRF-CHEM model. *Journal of the Earth and Space Physics*, 48(2), 421-440. (In Persian). <https://doi.org/10.22059/jesphys.2022.330319.1007361>